MORNSUN®

SCM3425ASA 高速 CAN 总线收发器

特点

- 完全兼容"ISO 11898"标准
- 高速 CAN, 支持 CANFD 且波特率高达 5Mbps
- 5V 电源供电, IO 接口电平兼容 3.0-5.5V
- 接收器共模输入电压: ±30V
- 总线引脚耐压: ±42V
- 显性超时功能
- 未上电节点不干扰总线
- 至少允许 110 个节点连接到总线
- 高抗电磁干扰能力
- 满足 AEC-Q100 汽车标准

应用范围

- 工业自动化
- 楼宇自动化
- 智能电表
- 远距离信号交互、传输

封装

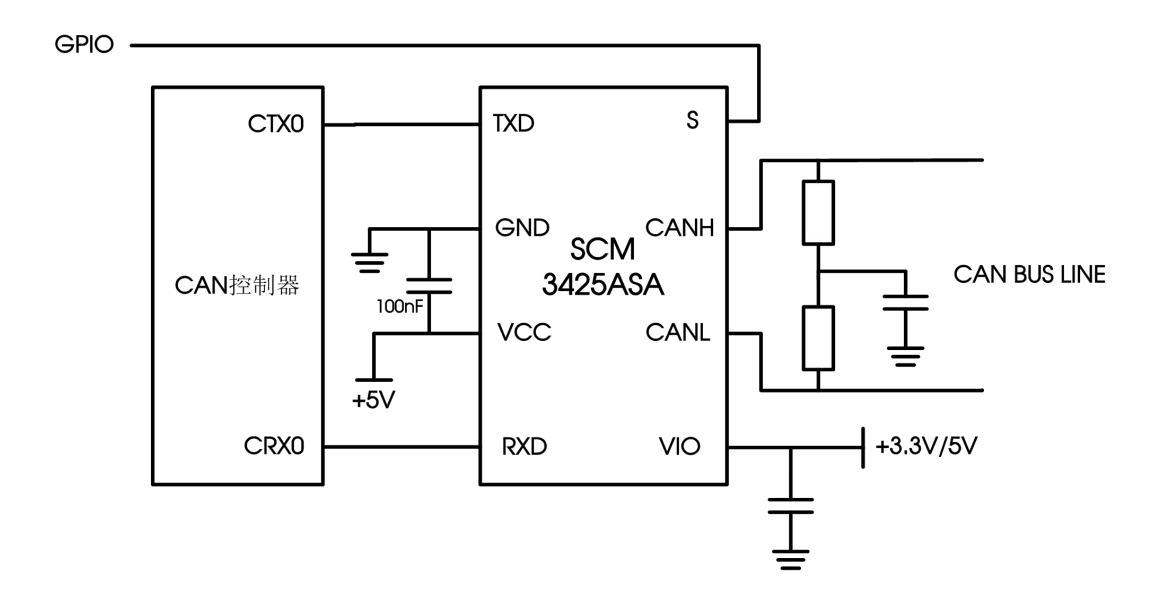


产品可选封装: SOP-8, 丝印信息请见"订购信息"

功能描述

SCM3425ASA 是一款应用于 CAN 协议控制器和物理总线之间的接口芯片,可应用于卡车、公交、小汽车、工业控制等领域,速率可达到 5Mbps , 具有在总线与 CAN 协议控制器之间进行差分信号传输的能力。

典型应用电路

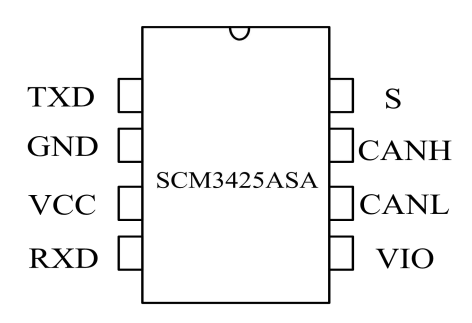


注:GPIO表示通用IO口。

目录

| 特点及封装1 | 传输特性 | 4 |
|---------|--------|-----|
| 应用范围1 | 其他特性 | 5 |
| 功能描述1 | 参数测试电路 | .5 |
| 典型应用电路1 | 工作描述 | .8 |
| 引脚封装2 | 拓展输出设计 | .9 |
| 真值表2 | 电源使用建议 | .9 |
| 引脚描述3 | 订购信息 | . 9 |
| 极限额定值3 | 封装信息1 | 10 |
| 推荐工作参数3 | 包装信息 | 11 |
| 电学特性3 | | |

引脚封装



真值表

表 1 CAN 收发器真值表

| Vcc | TXD | S | CANH | CANL | BUS STATE | RXD |
|------------------------------|--------|--------|---|---|-----------|-----|
| 4.5 to 5.5V | L | L(或浮空) | Н | L | 显性 | L |
| 4.5 to 5.5V | H(或浮空) | Х | 0.5V _{CC} | 0.5Vcc | 隐性 | Н |
| 4.5 to 5.5V | X | Н | 0.5V _{CC} | 0.5V _{CC} | 隐性 | Н |
| 0 <v<sub>CC<4.75V</v<sub> | Х | Х | 0V <v<sub>CANH<v<sub>CC</v<sub></v<sub> | 0V <v<sub>CANL<v<sub>CC</v<sub></v<sub> | 隐性 | Х |

(1)H=高电平; L=低电平; X=不关心

表 2 驱动器功能表

| INP | UTS | OUTI | Bus State | |
|--------|--------|------|-----------|------------------|
| TXD | S | CANH | CANL | bus State |
| L | L(或浮空) | Н | L | Dominate (显性) |
| H(或浮空) | L(或浮空) | Z | Z | Recessive (隐性) |
| X | Н | Z | Z | Recessive (隐性) |

(2)H=高电平; L=低电平; Z=高阻; X=不关心

表 3 接收器功能表

| V _{ID} =CANH-CANL | RXD | Bus State |
|----------------------------|-----|------------------|
| V _{ID} ≥0.9V | L | Dominate(显性) |
| 0.4< V _{ID} <0.9V | ? | ? |
| V _{ID} ≤0.4V | Н | Recessive (隐性) |
| Open | Н | Recessive (隐性) |

(3) H=高电平; L=低电平; ?=不确定

引脚描述

| 引脚序号 | 引脚名称 | 引脚功能 |
|------|-----------------|------------------|
| 1 | TXD | 发送器数据输入端 |
| 2 | GND | 地 |
| 3 | V _{CC} | 供电电源 |
| 4 | RXD | 接收器数据输出端 |
| 5 | V _{IO} | I/O 电平转换供电电源 |
| 6 | CANL | 低电位 CAN 电压输入输出端 |
| 7 | CANH | 高电位 CAN 电压输入输出端 |
| 8 | S | 高速与静音模式选择,低电平为高速 |

极限额定值

| 符号 | 参数 | 大小 | 单位 |
|-----------------|--------------|------------|------------------------|
| Vcc | 电源电压 | -0.3 to +7 | V |
| V _{IO} | I/O 电平转换供电电源 | -0.3 to +7 | V |
| TXD,RXD,S | MCU 侧端口 | -0.3 to +7 | V |
| CANL,CANH | 总线侧输入电压 | -42 to 42 | V |
| Tstg | 存储环境温度 | -65 to 150 | $^{\circ}$ C |
| Tamb | 工作环境温度 | -40 to 125 | $^{\circ}\!\mathbb{C}$ |
| Tj(max) | 工作结温 | -40 to 150 | $^{\circ}$ C |

最大极限参数值是指超过这些值可能会使器件发生不可恢复的损坏。在这些条件之下是不利于器件正常运作的,器件连续工作在最大允许额定值下可能影响器件可靠性,所有的电压的参考点为地。

推荐工作参数

| 参数 | 符号 | 测试条件 | 最小 | 最大 | 单位 |
|------------------|-----------------|------|-----|-----|------------|
| 供电电压 | Vcc | | 4.5 | 5.5 | V |
| I/O 电平转换供电电压 | V _{IO} | | 3.0 | 5.5 | V |
| 最大传输速率 | 1/tbit | 非归零码 | 5 | | Mbaud |
| CANH、CANL 输入输出电压 | Vcan | | -42 | +42 | V |
| 总线差分电压 | Vdiff | | 1.5 | 3.0 | V |
| 环境温度 | Tamb | | -40 | 125 | $^{\circ}$ |

电学特性 如无另外说明,Vcc=5V±5%,Temp=TMIN~TMAX,典型值在 Vcc=+5V,Temp=25℃

| 发送器电气特性 | 生 生 | | | | | |
|-----------------------|---------------|--|--------------------|--------|--------------------|----|
| 符号 | 参数 | 测试条件 | 最小 | 典型 | 最大 | 单位 |
| V _{IH} | 高电平输入电压 | TXD 脚 | 0.7V _{IO} | | | ٧ |
| VIL | 低电平输入电压 | TXD 脚 | | | 0.3V _{IO} | V |
| I _{IH} | 高电平漏电流 | TXD 脚,S = V _{CC} or V _{IO} = 5.5 V | -2.5 | 0 | 1 | |
| lιL | 低电平漏电流 | TXD 脚,S = 0 V, V _{CC} = V _{IO} = 5.5 V | -100 | -63 | -7 | uA |
| I _{lkg(OFF)} | 无电源漏电流 | TXD 脚,TXD = 5.5 V, V _{CC} = V _{IO} = 0 V | -1 | 0 | 1 | |
| Cı | 输入电容 | V _{IN} = 0.4 * sin(4E6 * π * t) + 2.5 V | | 4.5 | | pF |
| $V_{OH(D)}$ | CANH 输出电压(显性) | VI=0V , S=0V , RL=60Ω , | 2.75 | | 4.5 | V |
| V _{OL(D)} | CANL 输出电压(显性) | 图 1、图 2 | 0.5 | | 2.25 | V |
| $V_{\text{O(R)}}$ | 总线输出差分电压(隐性) | VI=3V,S=0V,RL=60Ω, 图 1、图 2 | 2 | 0.5VCC | 3 | V |
| $V_{\text{OD(D)}}$ | 总线输出差分电压(显性) | VI=0V,S=0V,45Ω≤RL<50Ω, 图 1、图 2 | 1.4 | | 3 | V |

| - | | <u> </u> | i | | | |
|-------------------------|-----------------------|---|--------------------|-----|--------------------|------|
| | | VI=0V,S=0V,50Ω≤RL≤65Ω, 图 1、图 2 | 1.5 | | 3 | V |
| | | VI=0V , S=0V , RL=2240Ω , 图 1、图 2 | 1.5 | | 5 | V |
| $V_{\text{OD(R)}}$ | 总线差分输出电压(隐性) | VI=3V , S=0V , RL=60Ω 图 1、图 2 | -0.12 | | 0.012 | V |
| | | VI=3V , S=0V , NO LOAD | -0.05 | | 0.05 | V |
| V _{dom(TX)sym} | 显性输出电压对称性 | Vdom(TX)sym=V _{CC} - V _{CANH} - V _{CANL} | -1 | 0.2 | 1 | V |
| V_{TXsym} | 输出电压对称性 | VTXsym= V _{CANH} + V _{CANL} | | 1 | | V |
| Voc | 共模输出电压 | S=0V , 图 8 | 2 | 2.5 | 3 | V |
| los | 短路输出电流 | S=0V, V _{CANH} =-5V to 40V, CANH=open, TXD=0V 图 11 S=0V, V _{CANL} =-5V to 40V, | -100 | | | - mA |
| | | CANH=open, TXD=0V 图 11 | | | 100 | |
| I _{O(R)} | 隐性输出电流 | -27V <vbus<32v 0<v<sub>CC<5.25V</v<sub></vbus<32v | -5 | | 5 | mA |
| | | 1 0.400 0.204 | 1 | | | |
| 符号 | | 测试条件 | 最小 | 典型 | 最大 | 单位 |
| V _{IT+} | 正输入阈值 | | | | 900 | |
| V _{IT-} | | ———————————————————————————————————— | 400 | | | |
| V _{IT+} | 正输入阈值 | | | | 1000 | mV |
| V _{IT-} | | ———————————————————————————————————— | 400 | | | |
| V _{HYS} | 比较器阈值迟滞区间 | | | 115 | | |
| V _{OH} | 高电平输出电压 | IO=-2mA,图 6 | 0.8V _{IO} | | | V |
| VoL | 低电平输出电压 | IO=2mA,图 6 | | | 0.2V _{IO} | V |
| I _(OFF) | 掉电时总线输入电流 | CANH or CANL=5V , Other pin=0V | -1 | 0 | 1 | uA |
| Cı | CANH、CANL 对地的输入电容 | · | | 27 | | pF |
| C _{ID} | CANH、CANL 差分输入电容 | | | 14 | | pF |
| Rin | CANH、CANL 输入电阻 | TVP 01/ 0 01/ | 15 | | 40 | kΩ |
| R _{ID} | CANH、CANL 差分输入电阻 | TXD=3V , S=0V | 30 | | 80 | kΩ |
| RI _{match} | RI(CANH)、RIN(CANL)失配度 | CANH=CANL | -2% | | 2% | |
| V _{COM} | 共模电压范围 | | -30 | | 30 | V |
| 供电特性 | | · | | | | |
| 符号 | 参数名称 | 测试条件 | 最小值 | 典型值 | 最大值 | 单位 |
| | 静音模式功耗 | S=V _{CC} , VI=V _{CC} | | 1.3 | 2.5 | mA |
| | 自从功年 | VI=0V, S=0V, LOAD=60Ω | | 50 | 70 | mA |
| Icc | 显性功耗 | VI=0V, S=0V, LOAD=50Ω | | 52 | 80 | mA |
| | 隐性功耗 | VI=VCC, S=0V, NO LOAD | | 1.3 | 2.5 | mA |
| lio | 普通和静音模式 | RXD 悬空,TXD=S=0 or VIO | | 73 | 300 | uA |
| 107 | 保护模式下的 VCC 上升欠压 | | | 4.0 | 4.4 | V |
| UV _{vcc} | 保护模式下的 VCC 下降欠压 | | 3.6 | 3.9 | 4.15 | V |
| V _{HYS(UVVCC)} | 保护模式下的 VCC 迟滞电压 | | | 200 | | mV |
| UV _{VIO} | 保护模式下的 VIO 上升欠压 | | 1.3 | | 2.75 | V |
| V _{HYS(UVVIO)} | 保护模式下的 VIO 迟滞电压 | | | 150 | | mV |
| S 脚特性 | | | | | | |
| 符号 | 参数名称 | 测试条件 | 最小值 | 典型值 | 最大值 | 单位 |
| V _{IH} | 高电平输入电压 | | 0.7V _{IO} | | | V |

| V _{IL} | 低电平输入电压 | | | | 0.3V _{IO} | V |
|-----------------------|---------|--|----|---|--------------------|----|
| I _{IH} | 高电平漏电流 | $S = V_{CC}$ or $V_{IO} = 5.5 V$ | | | 30 | uA |
| I _{IL} | 低电平漏电流 | S = 0 V, V _{CC} = V _{IO} = 5.5 V | -2 | 0 | 2 | uA |
| I _{lkg(OFF)} | 无电源漏电流 | S = 5.5 V, V _{CC} = V _{IO} = 0 V | -1 | 0 | 1 | uA |

传输特性 如无另外说明,Vcc=5V±5%,Temp=T_{MIN}~T_{MAX},典型值在 Vcc=+5V,Temp=25℃

| 发送器开关特性 | | | | | | |
|-----------------------|-------------------------|------------------------------|-----|------|-----|-----|
| 符号 | 参数名称 | 测试条件 | 最小值 | 典型值 | 最大值 | 单位 |
| t _{PLH} | 传播延时 (低到高) | S=0V,图 4 | | 70 | | ns |
| t _{PHL} | 传播延时 (高到低) | | | 42 | | ns |
| t _r | 差分输出上升延时间 | | | 45 | | ns |
| t _f | 差分输出下降延时间 | | | 45 | | ns |
| t _{dom} | 显性超时时间 | 图 10 | 1.2 | | 3.8 | ms |
| 接收器开关特性 | | | | | | |
| 符号 | 参数名称 | 测试条件 | 最小值 | 典型值 | 最大值 | 单位 |
| t _{PLH} | 传播延迟 (低到高) | S=0V or V _{CC} ,图 6 | | 78 | | ns |
| t _{PHL} | 传播延迟 (高到低) | | | 59 | | ns |
| tr | RXD 信号上升时间 | | | 10 | | ns |
| t _f | RXD 信号下降时间 | | | 10 | | ns |
| 器件开关特性 | | | | | | |
| T _{d(LOOP1)} | 环路延迟 1,驱动器输入到接收器输出,隐性 | 图 9,S=0V | | 100 | 160 | ns |
| 1 d(LOOP1) | 到显性 | <u>≅</u> 9,5−0 v | | 100 | 100 | 113 |
| T _{d(LOOP2)} | 环路延迟 2, 驱动器输入到接收器输出, 显性 | | | 110 | 175 | ns |
| (LOOP2) | 到隐性 | | | .10 | .,, | 113 |
| T _{MODE} | 模式转换时间 | | | 0.15 | 10 | us |

其他特性

如无另外说明, V_{CC} =5V±5%, T_{MAX} ,典型值在 V_{CC} =+5V, T_{CC} =+5V, T_{CC} =+5V

| TXD 引脚特性 | | | | | | |
|----------------------|-------------------------------|------------------------------|--------------------|-----|--------------------|-------|
| 符号 | 参数名称 | 测试条件 | 最小值 | 典型值 | 最大值 | 单位 |
| I _{IH(TXD)} | TXD 端口高电平输入电流 | VI=V _{CC} | -2.5 | 0 | 1 | uA |
| I _{IL(TXD)} | TXD 端口低电平输入电流 | VI=0 | -100 | -63 | -7 | uA |
| I _{O(off)} | V _{cc} =0V 时,TXD 的电流 | V _{CC} =0V , TXD=5V | -1 | 0 | 1 | uA |
| V _{IH} | 输入高电平下限 | | 0.7V _{IO} | | | V |
| VIL | 输入低电平上限 | | | | 0.3V _{IO} | V |
| Cı | 输入电容 | | | 4.5 | | pF |
| TXDO | TXD 端口悬空电压 | | | Н | | logic |

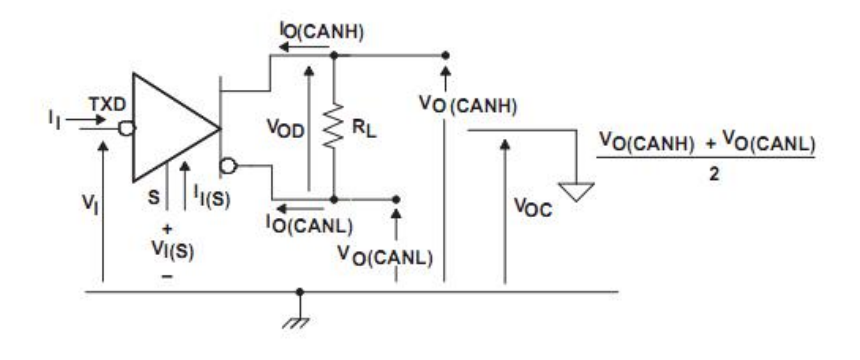


图 1驱动器电压、电流测试定义

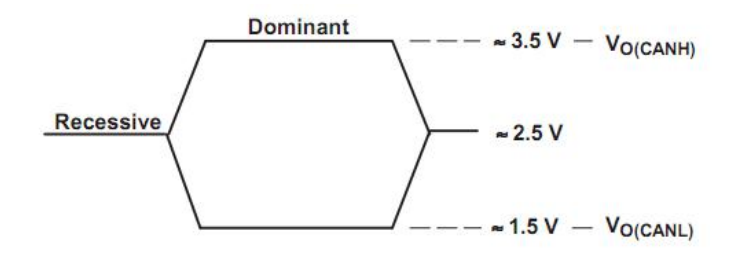


图 2 总线逻辑电压定义

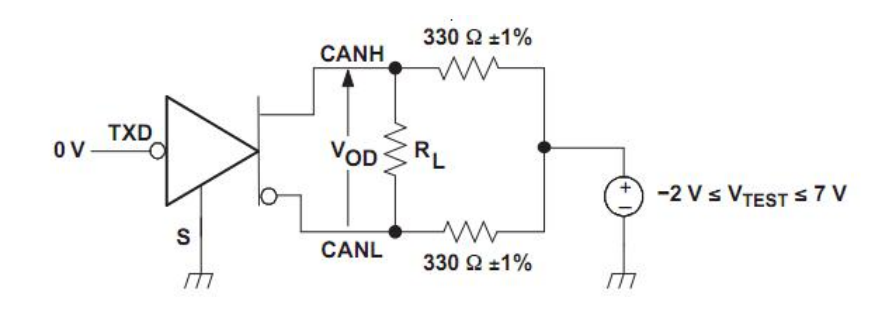


图 3 驱动器 VOD 测试电路

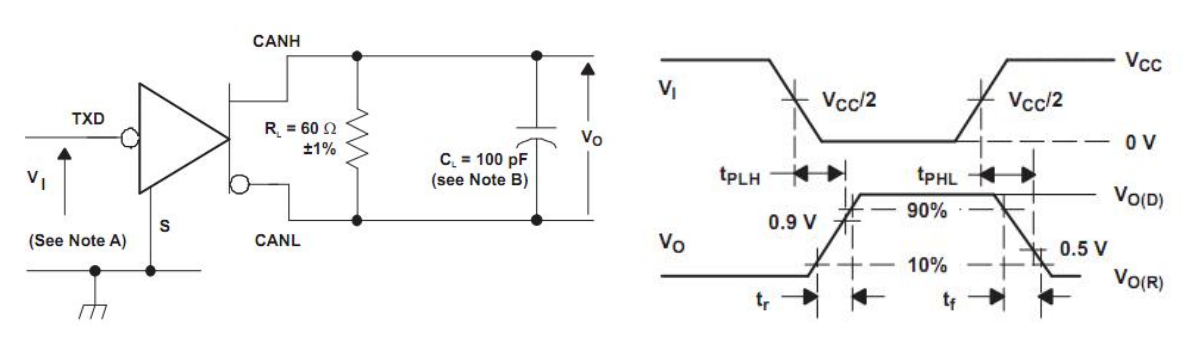


图 4 驱动器测试电路与电压波形

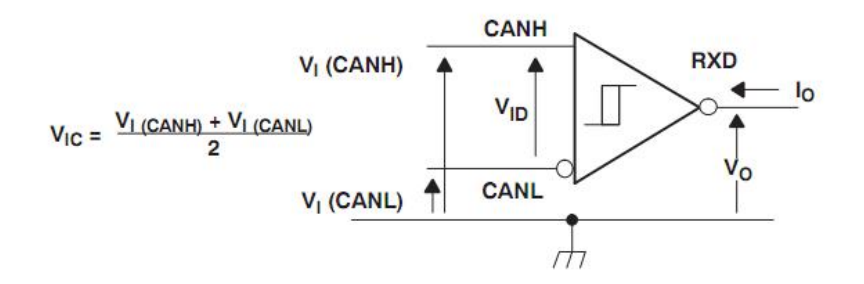
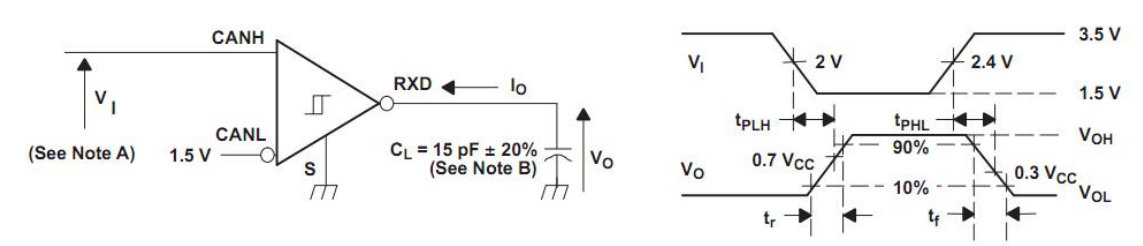


图 5 接收器电压与电流定义



- A、 输入脉冲产生器特点: PRR<125KHz, 50%占空比, t_i<6ns, t_i<6ns, Zo=50Ω
- B、 CL包括仪器与固定电容,误差在20%以内。

图 6 接收器测试电路与电压波形

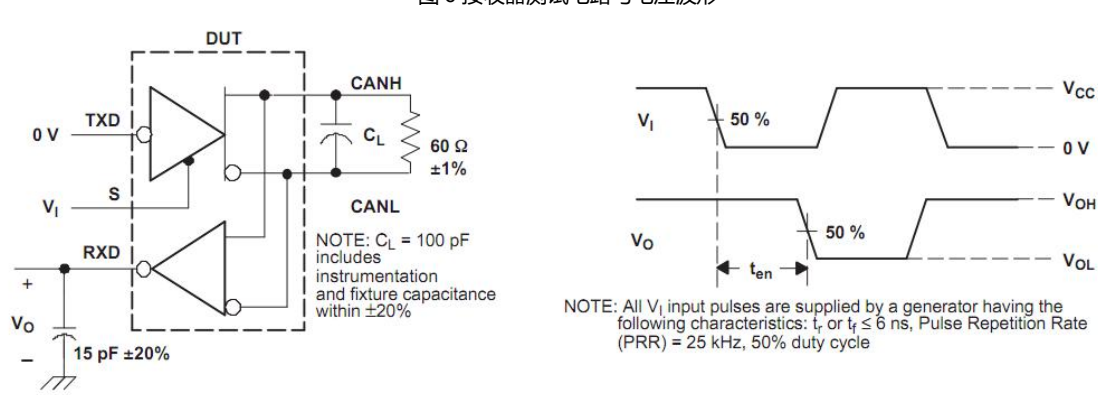
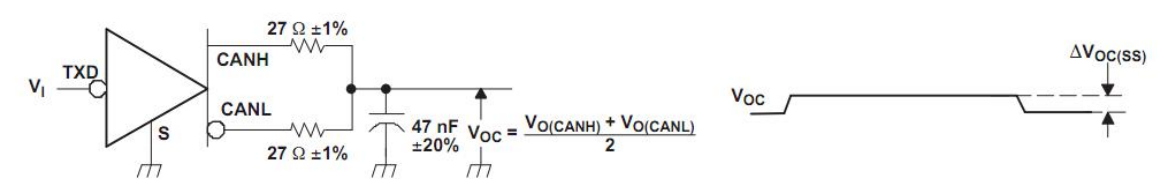


图 7 tEN 测试电路与电压波形



注:VI 从 0~VCC,输入脉冲产生器特点:PRR<125kHz,50%占空比,tr<6ns,tf<6ns,Zo=50Ω

图 8 共模输出电压测试与波形

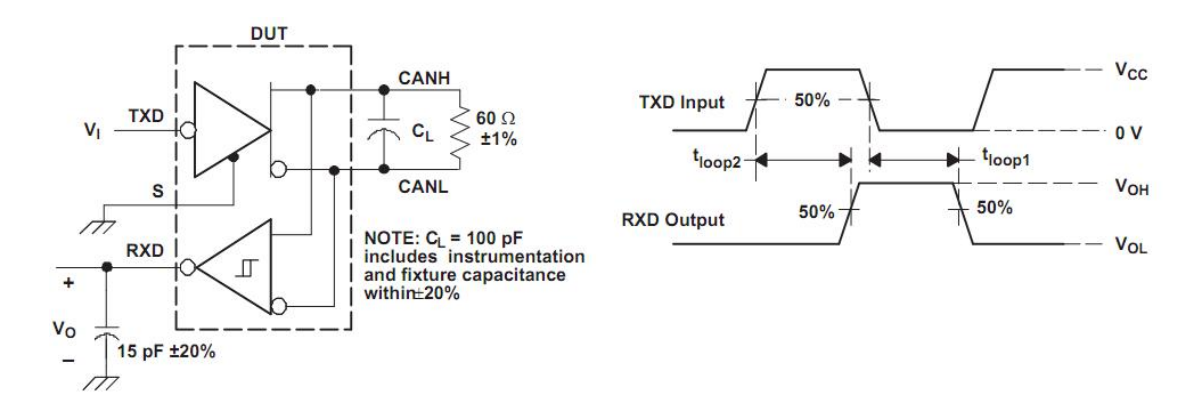


图 9 t(LOOP)测试电路与波形

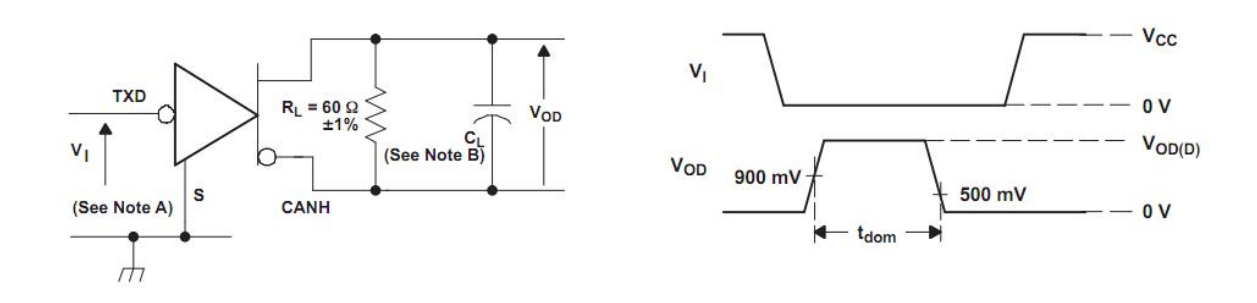


图 10 显性超时测试电路与波形

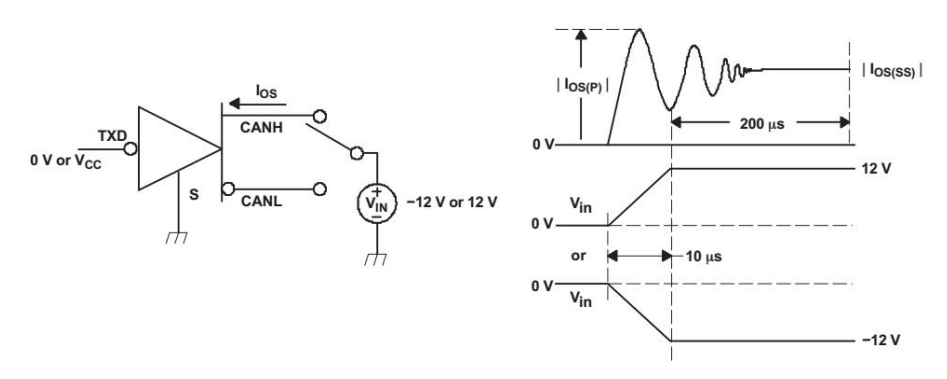


图 11 驱动器短路电流测试电路与波形

工作描述

SCM3425ASA 是一款应用于 CAN 协议控制器和物理总线之间的接口芯片,可应用于卡车、公交、小汽车、工业控制等领域,速率可达到 5Mbps, 具有在总线与 CAN 协议控制器之间进行差分信号传输的能力,完全兼容"ISO 11898"标准。

短路保护:SCM3425ASA 的驱动级具有限流保护功能,以防止驱动电路短路到正和负的电源电压,发生短路时功耗会增加,短路保护功能可以保护驱动级不被损坏。

过温保护:SCM3425ASA 具有过温保护功能,过温保护触发后,驱动级的电流将减小,因为驱动管是主要的耗能部件,电流减小可以降低功耗从而降低芯片温度。同时芯片的其它部分仍然保持正常工作。

显性超时功能:如果引脚 TXD 因硬件和(或)软件应用故障而被强制为永久低电平,内置的 TXD 显性超时定时器电路可防止总线线路被驱动至永久显性状态(阻塞所有网络通信)。定时器由引脚 TXD 上的负沿触发, 如果引脚 TXD 上的低电平持续时间超过内部定时器值(tdom),发送器将被禁用,驱动总线进入隐性状态。定时器通过引脚 TXD 上的正边沿复位。

控制模式:控制引脚 S 允许选择两种工作模式:高速模式或静音模式。

高速模式是正常工作模式,通过将引脚S接地来选择。如果引脚S未连接,则它是默认模式。 但是,为了确保仅使用高速模式的应用中的 EMI 性能,建议将引脚S接地。

在静音模式下,发射器被禁用。 所有其他 IC 功能继续运行。静音模式通过将引脚 S 连接到 Vcc 来选择,并可用于防止由于 CAN 控制器失控而导致的网络通信阻塞。

拓展输出设计

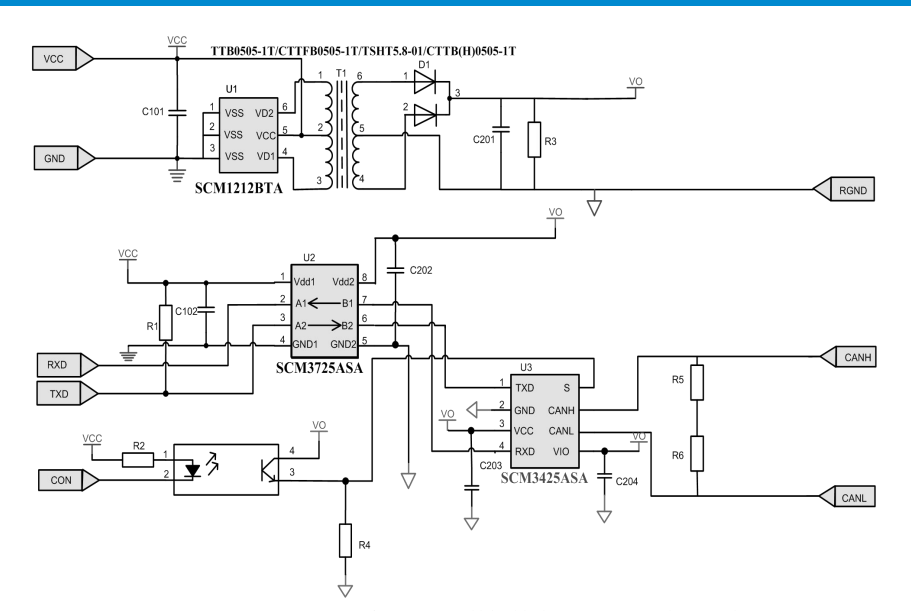


图 12 用于 TTL/CMOS 电平转换为 CAN 总线差分电平的隔离应用电路原理图

电源使用建议

应尽可能将 0.1µF 旁路电容连接到器件 Vcc 引脚。

订购信息

| 产品型号 | 封装 | 引脚数 | 丝印 |
|------------|-----|-----|--------------|
| SCM3425ASA | SOP | 8 | SCM 3425A |
| | | | YM |

产品型号与丝印说明

SCM3425XYZ:

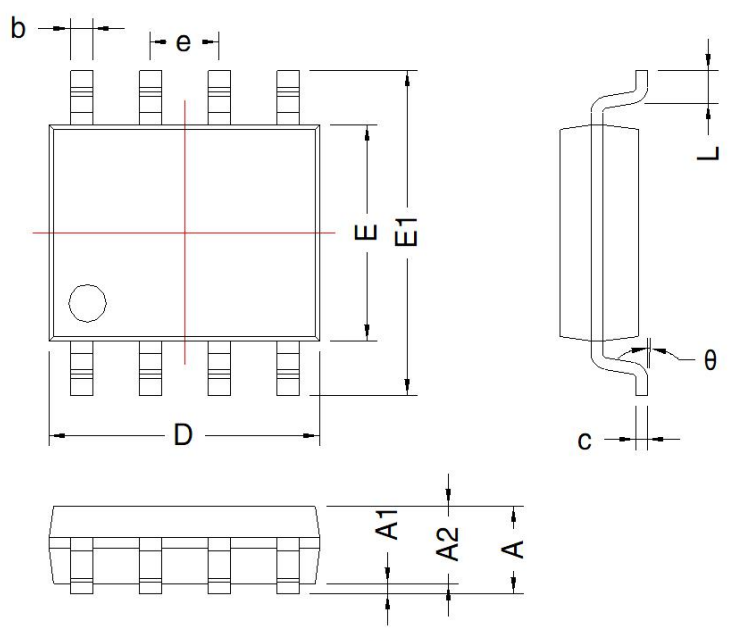
(1)SCM3425,产品代码。

(2)X = A-Z , 版本代码。

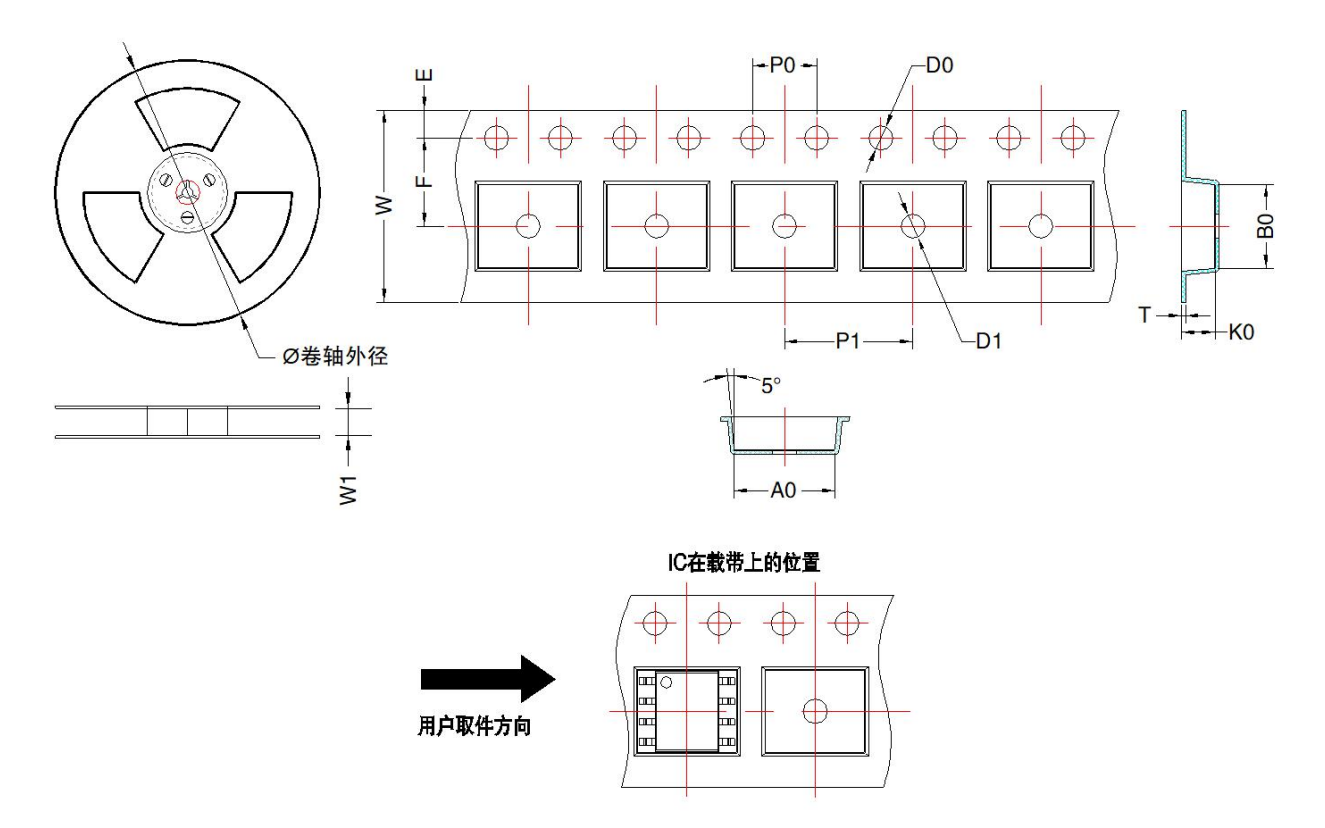
(3)Y = S 封装代码; S: SOP 封装; F: DFN 封装。

(4)Z = C,I,A,M,温度等级代码;C:0℃-70℃,I:-40℃-85℃,A:-40℃-125℃,M:-55℃-125℃。

(5)YM:产品溯源代码;Y产品生产年份代码,M产品生产月份代码。



| | | SOP-8 | | | | | |
|----|-------|-------|----------|----------------|--|--|--|
| 标识 | 尺寸(| mm) | 尺寸(inch) | | | | |
| | Min | Max | Min | Max | | | |
| Α | 1.40 | 1.80 | 0.055 | 0.071 | | | |
| A1 | 0.05 | 0.25 | 0.002 | 0.010 | | | |
| A2 | 1.35 | 1.55 | 0.053 | 0.061 | | | |
| D | 4.80 | 5.00 | 0.189 | 0.197 0.157 | | | |
| Е | 3.80 | 4.00 | 0.150 | | | | |
| E1 | 5.80 | 6.20 | 0.228 | 0.244 | | | |
| L | 0.45 | 1.00 | 0.018 | 0.39 | | | |
| b | 0.30 | 0.50 | 0.012 | 0.020 | | | |
| е | 1.27E | BSC | 0.05BSC | | | | |
| С | 0.153 | 0.253 | 0.006 | 0.010 | | | |
| θ | 2° | 6° | 2° | 6° | | | |



| 器件型号 | 封装类型 | MPQ | 卷轴外径 (mm) | 卷轴宽度 W1(mm) | A0 (mm) | B0 (mm) | K0 (mm) | T (mm) | W (mm) | E (mm) | F (mm) | P1 (mm) | P0 (mm) | D0 (mm) | D1 (mm) | |
|------------|-------|------|--------------|----------------|---------------|----------------|---------------|----------------|----------------|----------------|---------------|------------|---------------|---------------|------------|--|
| SCM3425ASA | SOP-8 | 3000 | 330.0 | 12.4 | 6.5 ± 0.2 | 5.45 ± 0.2 | 2.0 ± 0.2 | 0.3 ± 0.05 | 12.0 ± 0.3 | 1.75 ± 0.1 | 5.5 ± 0.1 | 8.0 ± 0.1 | 4.0 ± 0.1 | 1.5 ± 0.1 | 1.5 ± 0.1 | |

广州金升阳科技有限公司

地址: 广东省广州市黄埔区科学城科学大道科汇发展中心科汇一街 5 号 电话: 86-20-38601850 传真: 86-20-38601272

E-mail: sales@mornsun.cn